

TEK FAZLI DİREKT AC-AC ÇEVİRİCİDE HARMONİK ELİMİNASYONU

A. Fethi AYHAN¹

Sedat SÜNTER²

Elektrik-Elektronik Mühendisliği Bölümü

Mühendislik Fakültesi, Fırat Üniversitesi, 23279, Elazığ

¹e-posta:fatih_ayhan@hotmail.com

²e-posta:ssunter@firat.edu.tr

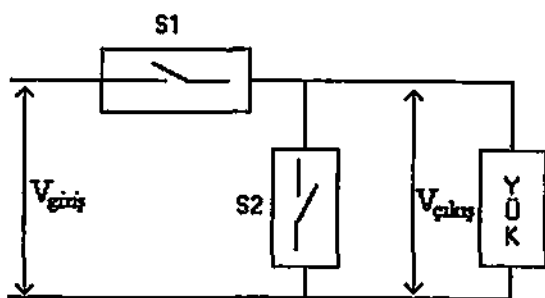
Anahtar sözcükler: AC-AC çeviriçi, Harmonik eliminasyonu, Anahtarlama, PSPICE

ABSTRACT

This paper presents the harmonic elimination technique for a single phase ac-ac converter. First, the harmonic elimination technique for ac-ac converter has been described. Then, ac-ac converter feeding an R-L load has been modelled in PSPICE package program. IGBT switching devices has been used in the model. PSPICE model of the devices has been provided from their manufacturer company in order to get more realistic results. Simulation results which demonstrate a number of harmonic elimination in the output voltage for various conditions are presented.

1. GİRİŞ

Yakın zamanlarda katı hal güç elektronigi elemanları teknolojisinde yaşanan gelişmeler, elektriksel sistemlerin performansının düzeltmesi yönünde olumlu etkiler yapmıştır. Eviriciler, çeviriciler, regülatörler, kiyicilar ve daha birçok alanda kullanılan bu elemanların hızlı kontrolü ile, girişteki gerilimin bütünlüğü ve/veya frekansı kontrol edilebilir. Bununla birlikte bu yöntem, anahtarlanarak kontrol edilen çıkış geriliminin dalga şeklinde harmoniklerin ve dolayısıyla ilave kayıpların oluşmasına neden olur ve bu da sistem güç faktörünün azalmasına yol açar. Bu nedenle anahtarlama ile yapılan kontrolde, çıkış gerilim dalga şeklindeki ana harmonije yakını olan harmoniklerin bütünlüğünün minimum olması yönünde bir anahtarlama stratejisi uygulanmalıdır. [1] Çeviricinin kiyici modunda çalışması durumunda performansı düzeltilebilir. Bu durumda anahtarların iletim/kesim sürelerinin kontrollü ile girişteki besleme gerilimi kiyilarak istenilen çıkış gerilimi elde edilir. AC-AC çeviricinin yapısı Şekil-1'de verilmiştir. Çeviricide S1 anahtarları iletimde iken, yük üzerinde giriş gerilimi görülür ve güç kaynaktan yükle aktarılır ($V_{yük} = V_{giriş}$). S1 anahtarları kesime sokulduğunda aynı



Şekil-1. AC-AC Çeviricinin Yapısı

anda S2 iletme sokularak induktif karakteristikli akının bu anahtardan dolasması sağlanır. Bu durumda $V_{yük} = 0V$ olur. Burada S2 anahtarı boşluk diyodu gibi çalışır ve sadece induktif yükler için bu anahtara gerek duyulur. Omik karakteristikli yüklerde ise bu anahtarın kullanılmasına gerek yoktur. Çeviricinin çıkış geriliminin giriş gerilimi cinsinden ifadesi;

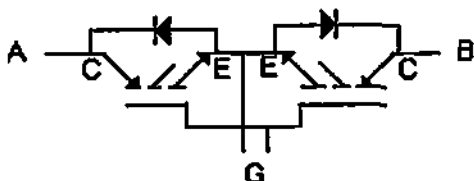
$$V_{çıkış} = d \cdot V_{giriş} \quad (1)$$

Burada d, görev periyoduudur ve;

$$d = \frac{t_{on}}{t_{on} + t_{off}} = \frac{t_{on}}{T_s} \quad (2)$$

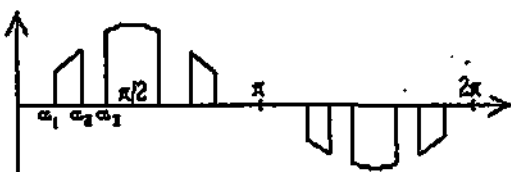
Burada t_{on} , S1 anahtarının iletimde kalma süresi, t_{off} aynı anahtarın kesimde kalma süresi ve T_s de anahtarlama periyoduudur.

Şekil-1'deki S₁ ve S₂ anahtarları çift yönlü anahtarlardır. Gündümüzde modül olarak çift yönlü anahtar bulunmadığından dolayı bu anahtarları mevcut anahtarlar kullanarak gerçekleştirmek gerekir. Çift yönlü anahtar yapısı farklı şekillerde oluşturulabilir. Bu çalışmada kullanılan çift yönlü anahtar Şekil-2'de gösterilmiştir. Bu anahtarın tercih edilme sebepleri [2]'de bulunabilir.



Şekil-2. Çift Yönlü Anahtarın Yapısı

2. HARMONİK ELİMİNASYONU



Şekil-3. Çıkış Gerilim Dalga Şekli

AC-AC çevircisinin kırılmış çıkış geriliminin dalga şekli Şekil-3'de gösterilmiştir. Bu işaretin harmonik bileşenleri Fourier analizi ile hesaplanır. Genel olarak Fourier denklemi;

$$f(\theta) = \frac{a_0}{2} + \sum_{n=1}^{\infty} [(a_n \cos n\theta) + (b_n \sin n\theta)] \quad (3)$$

burada a_0 , işaretin ortalama değeridir. Çıkış gerilim dalga şeklinde verilen α_1 , α_2 , α_3 atesleme açıları. a_0 , a_n ve b_n katsayıları vasıtıyla hesaplanır;

$$a_0 = \frac{2}{T_0} \int_{T_0}^T v_0(t) d(\omega t) \quad (4)$$

$$b_n = \frac{2}{T_0} \int_{T_0}^T v_0(t) \cos n(\omega t) d(\omega t) \quad (5)$$

$$a_n = \frac{2}{T_0} \int_{T_0}^T v_0(t) \sin n(\omega t) d(\omega t) \quad (6)$$

Çıkış gerilim dalga şekli $\pi/2$ etrafında simetrik ve simetroidal fonksiyona sahip olduğundan denklem (6);

$$a_n = \frac{1}{\pi} \int_0^{2\pi} f(\omega t) \sin n(\omega t) d(\omega t) = \frac{4}{\pi} \int_0^{\pi/2} \sin(\omega t) \sin(n\omega t) d(\omega t) \quad (7)$$

formunu alır. Şekil-3'te gösterilen çıkış gerilim dalga şeklindeki açı değerleri; α_1 , α_2 ve α_3 , denklem (7) de yerine konularak denklem (8)'e ulaşılır.

$$a_n = \frac{4}{\pi} \left[\frac{\alpha_2}{\alpha_1} \int_{\alpha_1}^{\alpha_2} \sin(\omega t) \sin(n\omega t) d(\omega t) + \int_{\alpha_2}^{\pi/2} \sin(\omega t) \sin(n\omega t) d(\omega t) \right] \quad (8)$$

Bu denklemde integral alınursa;

$$a_n = \frac{2}{\pi} \left| \frac{\sin(1+n)\omega t}{1+n} - \frac{\sin(1-n)\omega t}{1-n} \right|_{\alpha_1, \alpha_3}^{\alpha_2, \frac{\pi}{2}} \quad (9)$$

simdi değerlerini yerine koyarak;

$$a_n = \frac{2}{\pi} \left[\frac{\sin((n-1)\omega t)}{n-1} - \frac{\sin((n+1)\omega t)}{n+1} \right] \quad (10)$$

Böylece genel a_n ifadesine ulaşılır. Çeyrek dalga simetrisinden dolayı;

$$b_n = 0 \quad (11)$$

a_1 'in değerini bulmak üzere denklem (8)'de $n=1$ yazarsa;

$$a_1 = \frac{4}{\pi} \left[\frac{\alpha_2}{\alpha_1} \int_{\alpha_1}^{\alpha_2} \sin(\omega t) \sin(\omega t) d(\omega t) + \int_{\alpha_2}^{\pi/2} \sin(\omega t) \sin(\omega t) d(\omega t) \right] \quad (12)$$

bulunur ve integral alınursa;

$$a_1 = \frac{2}{\pi} \left[\left| \omega t - \frac{\sin 2\omega t}{2} \right|_{\alpha_1, \alpha_3}^{\alpha_2, \frac{\pi}{2}} \right] \quad (13)$$

Bulunur. Burada bilinmeyen olarak α_1 , α_2 , α_3 açıları mevcuttur. Bu açıları hesaplamak için üç tane sınırlama denklemi gereklidir. Bu denklemlerin yardımı ile bilinmeyen açılar hesaplanabilir. Bu denklemler;

$$1. a_1 = K = \frac{2}{\pi} \left[\left| \omega t - \frac{\sin 2\omega t}{2} \right|_{\alpha_1, \alpha_3}^{\alpha_2, \frac{\pi}{2}} \right]$$

$$2. a(\alpha_1) = 0$$

$$3. a(\alpha_2) = 0$$

Burada a_1 çıkış işaretinin ana harmoniği, α_1 ve α_2 elimine edilecek harmoniklerdir. K ise; ana yük gerilim bileşeninin tepe değeri ile, giriş kaynak geriliminin tepe değeri arasındaki orandır. Sınırlama denklemlerinin sayısı kaynak gerilim periyodunun her çeyreğindeki anahtarlama sayısına eşittir. Bu durum, anahtarlama sayısının artırılmasıyla çıkışta daha fazla harmoniğin eliminasyonuna yol açmaktadır.

IGBT'lerin anahtarlama sayısının seçiminde optimum nokta bulunmaktadır. Çünkü, çok sayıda harmoniğin eliminasyonuna yol açmak, anahtarlama kayıplarının ve mikroişlemciye iş yüküne neden olmaktadır. Yani harmonik kayıplar ile yüksek anahtarlama frekansından kaynaklanan anahtarlama kayıplarını optimum bir noktada dengeleyecek şekilde hesaplamaların yapılması gereklidir.

3. ATEŞLEME AÇILARININ BELİRLENMESİ

Bilinmeyen α açılarının hesaplanması, sınırlanmış denklemlerden (F_1 , F_2 , ..., F_n) faydalananır. Bu denklemler nonlineer olduklarından çözüme ancak sayısal teknikler kullanılarak ulaşılabilir. Newton-Raphson yöntemi ile istenilen açı değerleri bulunabilir. Yöntem aşağıdaki gibi uygulanır:

1. $F(\alpha) = 0$ burada $F=[F_1 \ F_2 \ \dots \ F_N]^T$ ve
 $\alpha=[\alpha_1^0 \ \alpha_2^0 \ \dots \ \alpha_N^0]^T$ 'dir.

2. α 'nın başlangıç değerleri için bir tahmin yap.
 $\alpha^0=[\alpha_1^0 \ \alpha_2^0 \ \dots \ \alpha_N^0]^T$

3. F 'nın başlangıç değerini hesapla.
 $F^0=F(\alpha^0)$

4. Jacobian matris formuna al.

$$\left| \frac{\partial F}{\partial \alpha} \right| = \begin{vmatrix} \frac{\partial F_1}{\partial \alpha_1} & \frac{\partial F_1}{\partial \alpha_2} & \dots & \frac{\partial F_1}{\partial \alpha_N} \\ \frac{\partial F_2}{\partial \alpha_1} & \frac{\partial F_2}{\partial \alpha_2} & \dots & \frac{\partial F_2}{\partial \alpha_N} \\ \vdots & & & \\ \frac{\partial F_N}{\partial \alpha_1} & \frac{\partial F_N}{\partial \alpha_2} & \dots & \frac{\partial F_N}{\partial \alpha_N} \end{vmatrix} = J^0$$

Taylor açılımına göre ;

$f(\alpha_0 + \Delta\alpha) = f(\alpha_0) + \Delta\alpha \cdot f'(\alpha_0)$ 'dır. Denklemi sağlayan kök olduğundan, $f(\alpha_0 + \Delta\alpha) = 0$ 'dır ve bu durum genel denkleme yerine yazılırsa ;

$$0 = f(\alpha_0) + \Delta\alpha \cdot f'(\alpha_0)$$

Buradan, $\Delta\alpha = -f(\alpha_0) \cdot f'(\alpha_0)^{-1}$ ve

$$\Delta\alpha = -F^0 \cdot (J^0)^{-1}$$
 ile α 'nın artırımı hesaplanır.

5. α nm yeni değeri $\alpha' = \alpha_0 + \Delta\alpha$ ile verilir.

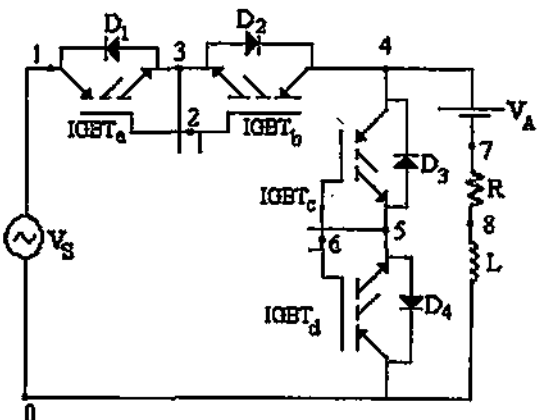
Benzer şekilde, aynı çevrim α' için tekrar edilir ve yeni $\Delta\alpha$ değeri hesaplanarak gerçek köke daha yakin olan yeni α' değerine ulaşılır. İterasyona bu şekilde $\Delta\alpha$ sıfır eşit oluncaya kadar veya çok küçük bir değer almaya kadar devam edilir. $\Delta\alpha$ için şart sağlandığında iterasyon sona erdirilir ve α değerine ulaşır. Çözümün yakınsaması için başlangıç değerlerinin seçimi önemlidir. Bunun için her iterasyonda yakınsama kontrolü yapılmalı ve işaret çözülmüştürse, yeni başlangıç değerleri seçilerek işlemlere yeniden başlanmalıdır. Yakınsamanın olması için ;

$$0 \leq \alpha_1 \leq \alpha_2 \leq \alpha_3 \dots \leq \alpha_N \leq \pi/2$$

olmalıdır. Iraksamanın olduğu durumlarda $\Delta\alpha$ 'nın negatif değerler aldığı görüllür.

4. R-L YÜKLÜ AC-AC ÇEVİRİCİNİN PSPICE MODELİ

AC-AC çeviriçi, PSPICE paket programı ile modellenerek simülasyonu yapılmıştır. AC-AC çeviriçinin devre yapısı ve PSPICE programında kullanılan dílgüm numaraları Şekil-4'de verilmiştir. Devrede kullanılan anahtarlarım modeli gergçe daha yakın sonuçlar elde etmek için üretici firmalarından temin edilmiştir [4].



Şekil-4. R-L Yüklü AC-AC Çevirici

V_A gerilim kaynağı, akımı ölçmek için PSPICE programının özelliğinden dolayı devreye kommunüstür ve 0 V' tur. AC-AC çeviriçinin PSPICE programı aşağıda verilmiştir:

VS 1 0 SIN(0 220V 50HZ)

VA 4 7 DC 0V

D1 3 1 DMOD

D2 3 4 DMOD

D3 5 4 DMOD

D4 5 0 DMOD

XIGBT a 1 2 3 IRGBC40U

XIGBT b 4 2 3 IRGBC40U

XIGBT c 4 6 5 IRGBC40U

XIGBT d 0 6 5 IRGBC40U

SUBCKT IRGBC40U 71 72 74

- Üretici firmadan temin edilen
 IRGBC40U modeli

. ENDS IRGBC 40U

. MODEL DMOD D (IS=2.22E-15 BV=1200V

IBV=13E-3 CJO=0 TT=0)

R 7 8 10

L 8 0 100MH

. OPTIONS ABSTOL=1.00N RELTOL=0.01

VNTOL=0.01 ITL4=1400 ITLS=0

. PROBE

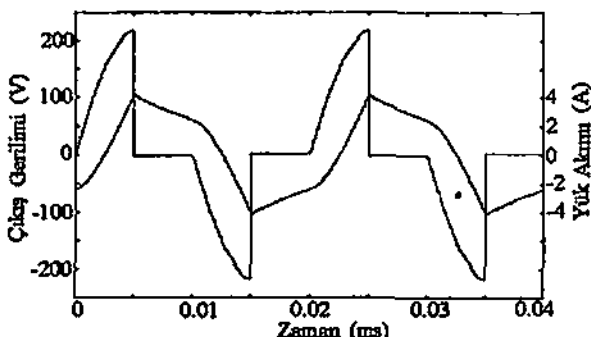
. four 50 V(4)

. END

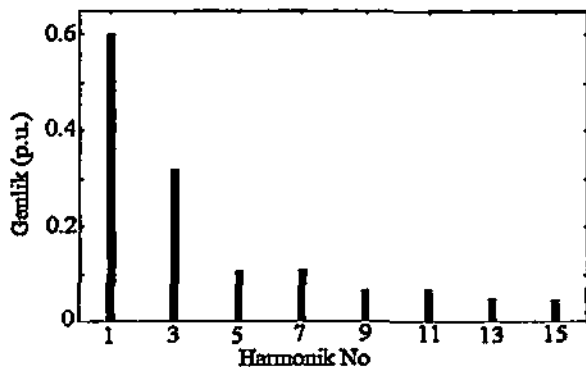
Devrede kullanılan IGBT'ler 600V, 40A, 24 ns iletme girme zamanı ve 250 ns kesme girme zamanına sahiptir. Bu IGBT'lerin PSPICE modeli IRGBC40U ile tanımlanmıştır. Bu model üretici firma tarafından hazırlanmıştır ve SUBCKT ile program içerisinde bir dallanma şeklinde tanımlanmıştır. Bu tanımlama .ENDS IRGBC40U'ya kadar sürer. Aynı şekilde, diyodlara ilişkin PSPICE model DMOD ile tanımlanmıştır. IGBT'lerin modeldeki sürme işaretleri için gerekli süreler Bölüm 3'de belirtildiği şekilde önceki eliminé edilecek harmonik sayısına bağlı olarak hesaplanmış ve modelde kare dalga şeklinde verilmiştir.

5. SİMÜLASYON SONUCLARI

Şekil-4'deki devrede $R=10 \Omega$, $L=100 \text{ mH}$ 'lik bir yük kullanılarak değişik K değerleri ve elimine edilecek harmonik sayıları için pspice simülasyonu yapılmıştır. Şekil-5, $d=0.5$ görev periyodu ($K=0.6$) için harmonik eliminasyonsuz ve tek açılı çıkış geriliminin ve yük akımının dalga şekillerini göstermektedir. Şekil-5'den de görüleceği gibi yük akımının şekli sinus formundan oldukça uzaktır. Şekil-6 ise aynı şartlarda çıkış geriliminin frekans spektrumunu göstermektedir. Ana harmoniğe en yakın olan 3. harmonikin genliği ana harmoniğin %53.23'ü gibi oldukça büyük bir değere sahiptir.



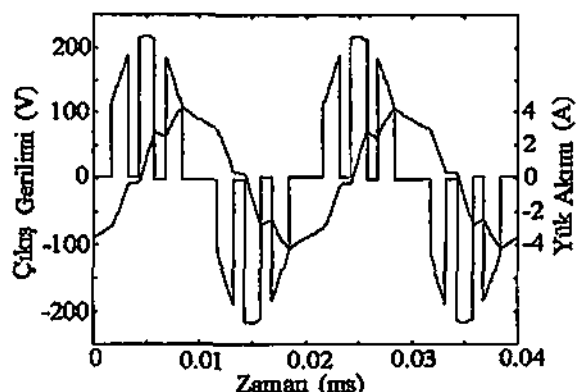
Şekil-5. Tek Açılı ve $d=0.5$ Görev Periyodu için Çıkış Gerilimi ve Yük Akımının Dalga Şekilleri



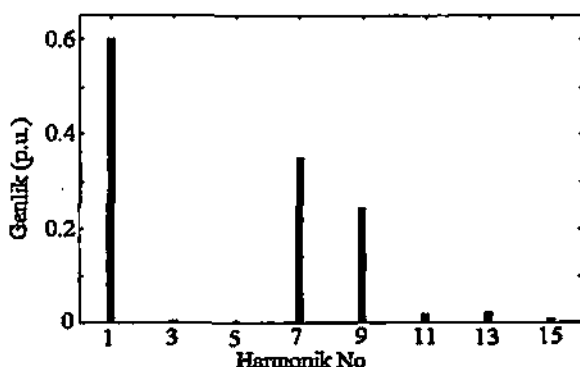
Şekil-6. Tek Açılı ve $d=0.5$ Görev Periyodu için Çıkış Geriliminin Frekans Spektrumu

Harmonik eliminasyonu için ilk olarak çıkış geriliminin yarı periyodunda 3 pals olacak şekilde (harmonik eliminasyon sayısı=2) ateşleme açıları Bölüm-3'de belirtildiği gibi hesaplanmıştır ve bu açılar için pspice'da stırme işaretleri üretilerek Şekil-4'deki devrenin modeli oluşturulmuştur. Bu tip çıkış gerilim dalga şeklindeki baskın bileşen 7.harmonik olacaktır [5]. Örnek olarak bu harmonik $K=0.5$ için %640'luk bir değere sahiptir. Bu yüzden harmonik eliminasyonu 7 ve daha küçük bir harmoniği elimine ederek yapılmalıdır.

Şekil-7'de $K=0.6$ için ve 3.&5. harmonik eliminasyonlu çıkış geriliminin ve yük akımının dalga şekilleri gösterilmiştir. Şekil-8 ise aynı şartlarda çıkış geriliminin frekans spektrumunu göstermektedir.



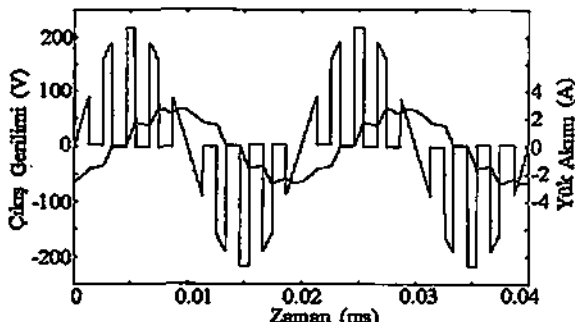
Şekil-7. $K=0.6$ ve 3.&5. Harmonik Eliminasyonlu Çıkış Gerilimi ve Yük Akımının Dalga Şekilleri



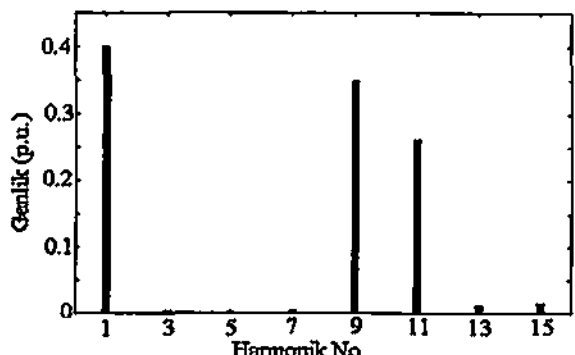
Şekil-8. $K=0.6$ ve 3. & 5. Harmonik Eliminasyonlu Çıkış Geriliminin Frekans Spektrumu

Buradan da görüldüğü gibi 7. harmonik oldukça baskındır ve ana harmoniğin $K=0.6$ değeri için %58.6'sı kadardır. Sistem tek fazlı olduğundan en yakın ilk iki harmoniği elimine etmek daha uygun olacağından burada 3. ve 5. harmonikler eliminé edilmiştir. Fakat 3-fazlı sistemlerde üç ve üçün kat harmonikler yük üzerinde görülmemişinden eliminasyona, en yakın olarak 5. harmonikten başlamak gereklidir.

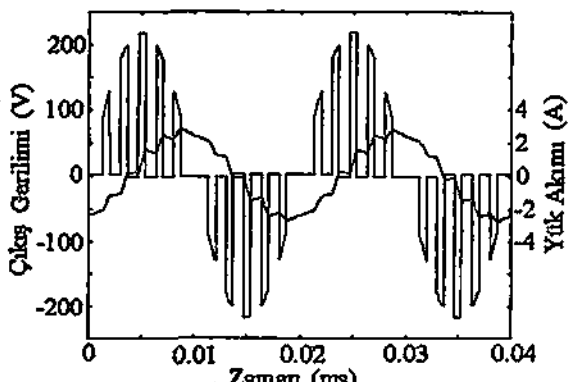
Şekil-9, $K=0.4$ için 3.&5.&7. harmonik eliminasyonlu çıkış gerilimin ve yük akımını dalga şekillerini göstermekte ve Şekil-10 ise bu duruma ait yük geriliminin frekans spektrumunu vermektedir. Burada da 9. harmonik baskın gözükmemektedir. Fakat bu harmoniğin frekansı ana harmonikten oldukça uzak olduğundan yükün indiktansı bu harmoniği yeterince filtre etmeyeceğini ve dolayısıyla Şekil-9'da da görüldüğü gibi yük akımındaki etkisi oldukça azalmaktadır. $K=0.4$ için ve 3.&5.&7.&9. harmonik eliminasyonlu çıkış gerilimi ve yük akımının dalga şekilleri Şekil-11'de gösterilmiştir. Bu dört harmonik eliminasyonunun olumlu etkisi, yük akımının sinus formuna oldukça yaklaşmasından daha iyi görülmektedir. Şekil-12 ise aynı koşullarda çıkış geriliminin frekans spektrumunu göstermektedir.



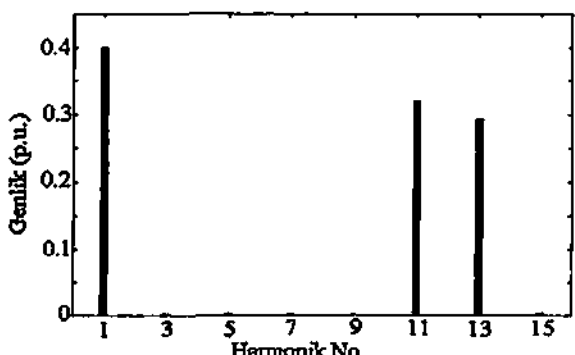
Şekil-9. $K=0.4$ ve 3.&5.&7. Harmonik Eliminasyonlu Çıkış Gerilimi ve Yük Akımının Dalga Şekilleri



Şekil-10. $K=0.4$ ve 3.&5.&7. Harmonik Eliminasyonlu Çıkış Geriliminin Frekans Spektrumu



Şekil-11. $K=0.4$ ve 3.&5.&7.&9. Harmonik Eliminasyonlu Çıkış Gerilimi ve Yük Akımının Dalga Şekilleri



Şekil-12. $K=0.4$ ve 3. & 5. & 7. Harmonik Eliminasyonlu Çıkış Geriliminin Frekans Spektrumu

6. SONUÇLAR

Bu çalışmada tek fazlı bir direkt ac-ac çeviricide harmonik eliminasyon tekniği kullanılmıştır. Bu teknik yardımıyla hesaplanan ateşleme açıları kullanılarak istenilen sayıda harmonik eliminasyonu yapılmıştır. ac-ac çevircisinin modeli pspice ile kurulup devre simül edilmiştir. Harmonik eliminasyonu olmaksızın tek ateşleme açılı olarak devre simül edilmiş ve harmonik içeriğinin oldukça fazla olduğu, yük akımının dalga şeklärinden ve harmonik spektrumundan görülmüştür. Aynı şartlarda devrede, harmonik eliminasyon tekniği uygulanarak en yakm ilk iki harmonik消除 edilmiş ve bir önceki durum ile kıyaslandığında oldukça iyi bir sonuç alınmıştır. Elimine edilecek harmonik sayısının artırılması anahtarlama kayıplarının artışı sebebi olacaktır. Ayrıca elimine edilecek harmonik sayısı arttıkça kullanılacak mikroişlemcinin hızı da artacaktır. Bu nedenle elimine edilecek harmonik sayısını belirlerken bu kısıtalar göz önüne alınarak iyi bir optimizasyon yapılmalıdır.

Bu çalışmanın pratik aşaması devam etmekte olup ileride sunulacaktır.

KAYNAKLAR

- [1] Khaled E. A., Adel L. M., Microprocessor Based Harmonic Elimination in Chopper Type AC Voltage Regulators, IEEE Trans. on Power Electronics, Vol 5, No. 2 pp. 191-200, 1990.
- [2] Sünter, S., Clare, J. C., Development of A Matrix Converter Induction Motor Drive, MELECON'94, Antalya, Apr 12-14, pp. 833-836, 1994.
- [3] Sünter, S., Altun, H., A Method for Calculating Semiconductor Losses in The Matrix Converter, MELECON'98, Tel-Aviv, May 18-20, pp. 1260-1264, 1998.
- [4] IGBT Designer's Manual, International Rectifier, 1999.
- [5] Mohamadein, A. L., Addoweesh, K. E., Evaluation of The Performance of The Copper Type AC Voltage Controllers, Intern. Journ. of Electronics, Vol. 67, pp.669-683, 1989.